

畠田高事 正員
畠田高事 正員
栗川上 勝一

1. はじめに 自動車交通流のモデル化には大きくわけて2つのアプローチがある、1つは1列になって走行している車両の追従現象を微分方程式で表現して、追従状態において発生する諸現象を解析する方法であり、もう一つは交通密度と平均速度との間の経験式を仮定し、交通流を圧縮性流体とみなして解析する方法である。交通量Q、交通密度Kおよび平均速度Vの間に、
は密度関係が存在することは知られており、多くの実験式が提案されている。またK-V曲線は単一の曲線であてはまることができず自由流と拘束流という全く異なった2つの流れが存在することは報告されている。

本研究は交通流を気体の一次元定常流とみなして、臨限密度より大きな交通密度を示す高密度交通流のモデルによる基本方程式を誘導し、実測データをあてはめて適合性を実証すると共に首都高速道路の交通容量を推定したものである。

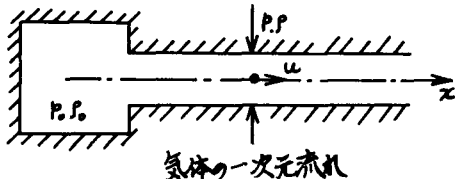
2. 密度変化の伝わり速度 気体の運動がX方向のみ生ずるものとし、密度P、流速U、圧力Pとして、はじめに気体の圧力P₀、密度P₀で静止の状態にあったものが、微小な変動が生じて P=P₀+P'、P=P₀+P' U=U'になるものとしてこれらの関係を運動方程式と連続の式に代入し高次の量を省略、U'を消去し、圧力Pと密度Pとのあいだに一定の関係があることを仮定すれば $\partial^2 P / \partial t^2 = dP / dx \cdot \partial^2 P / \partial x^2$ のように書くことができる。上式は波动をあらわす式であって、 $dP / dx = a^2$ --- (1) $a > 0$ と書けば解は複数あるを用いて $P' = f(x-at) + g(x+at)$ とえられる。aは密度変化の伝わり速度、すなわち音速である。気体のaは等エントロピー変化の式 $P^{-\frac{1}{2}} = \text{const}$ を用いると $dP / dx = a^2 P / P$ --- (2) であるから、音速aは $a = \sqrt{RP / P}$ となる。

3. 一次元定常流れ 気体の一次元定常流れについて、粘性および体力を省略すれば運動方程式は

$$U \frac{du}{dx} = -1/P \cdot dP / dx \quad \dots \dots (3)$$

で表わされる。また気体が等エントロピー変化をなすものとすれば、圧力P₀、密度P₀を基準の状態として

$$P^{-\frac{1}{2}} = P_0 P_0^{-\frac{1}{2}} \quad \dots \dots (4) \quad \text{が成立する。}$$



そこで(4)式に代入しPを消去し積分すると、
 $\frac{1}{2} \cdot U^2 + P_{0,0}^{\frac{1}{2}(R-1)} \cdot P^{\frac{R}{R-1}} / P_0 \cdot P_0^{\frac{R-1}{R}} = \text{const}$ となるが、ここで U=0 のとき P=P₀、P=P₀として右辺の定数を定め、等エントロピー変化の式を用いて左辺第一項を書きかえれば $\frac{1}{2} \cdot U^2 + P_{0,0}^{\frac{1}{2}(R-1)} \cdot P_0 = P_{0,0}^{\frac{1}{2}(R-1)} \cdot P_0^{\frac{R}{R-1}}$ --- (5)

(5)式をPについて微分すると $du/dx = P_0 u^2 \cdot P^{R/(R-1)} = P_0 / u \cdot P^{(R-1)}$ となるので、この式に(1)(2)式を代入すると、 $du/dx = -a^2 / P_0 U$ と書かれ。そこで、いままで対象流体は気体であったが、これを自動車交通流におきかえるため、密度Pを交通密度Kに、流速Uを空間平均速度Vに替おすると、

$$dV/dK = -a^2 / KV$$

となる。そこで V=0 のとき K=K_j (ジム密度) なる境界条件で積分すれば

$$V = C \left(x \log \frac{K_j}{K} \right)^{\frac{1}{2}} \quad \dots \dots (6)$$

となり平均速度と交通密度についての実際式が得られる。 (6)式はGreenbergモデル $V = C \log \frac{K_j}{K} / K$ に類似した式となる。Cはその交通流が存在する道路・交通条件によって決まる速度の元をもつた定数である。

$\Theta = VK$ に(6)式を代入すれば $\Theta = C K \left(x \log \frac{K_j}{K} \right)^{\frac{1}{2}}$ --- (7) となり交通量と交通密度についての実際式となる。交通量最大による交通密度を求めるべく(7)式をKで微分して零における $K = e^{-\frac{1}{2}} K_j = 0.6065 K_j$ のときに生ずるところがわかる。したがって最大交通量 Q_{max} は

$$Q_{max} = CK = 0.6065 C K_j \quad \dots \dots (8)$$

と書くことができる。

4. 観測値 昭和49年12月11日(水)0930～16日(月)1800までの間首都高速道路環状1号線外廻り、

宝町附近の高架平坦直線の標準断面(中央帯1.0m、車道幅7.5m、路肩0.4m)に走行・追越車線(1車線3.25m)にV設置したループコイル式車両検知器から採取したデータを使用した。車両検知器は1.5×2.3mのループコイルを5mの間隔で直列に敷設したものである。なおデータは走行・追越車線ごと平均速度と交通量が30分単位に集計されていて、図1は走行車線の、図2は追越車線の交通量変動を示す。(6)～(8)式を用いて計算するためには、CおよびK_jの値を求めなければならぬ。K_jの値を直接測定されたものが見あたりないが、停止時の車頭間隔と観測されたK-V曲線から今回はK_j=90%kmを取ることにする。

Cの値は(6)式を用いてVへの回帰式を最小自乗法によって求めると、

$$C = \frac{\sum V_i (2 \log K_j / K_i)^{\frac{1}{2}}}{\sum (2 \log K_j / K_i)} \quad \dots (9)$$

と書くことができる。(9)式を用いて晴天時の走行車線(図3)、雨天時の走行車線(図4)、晴天時の追越車線(図5)および雨天時の追越車線(図6)のCを求めるとい、それぞれ31.64, 26.35, 33.37および28.26となる。(K_c=45%kmといふより大きさはVに対応するVの部分の回帰である。)回帰曲線を各図中に示す。

5. 主なK_j=90%kmと(8)式を用いれば走行車線の交通容量は1727台/時、追越車線の交通容量は1985台/時となるので6%の大型車混入率を考慮するとQ_{max}=(1727+1985)×1.06/2=1967台/時・車線から交通容量は2000台/時・車線を採用することが望ましい。

新モデルは式中にK_jとGreenbergモデルの自由走行速度V_fに相当する係数Cを含むので、理想的な実数形であると言え得る。

(参考文献) 西宮良一他:高密度交通流の現象解析、第33回土木学会年次講演会概要集、53年9月

H. Greenberg: An Analysis of traffic flow, Ops, Res, 7, 79-85.

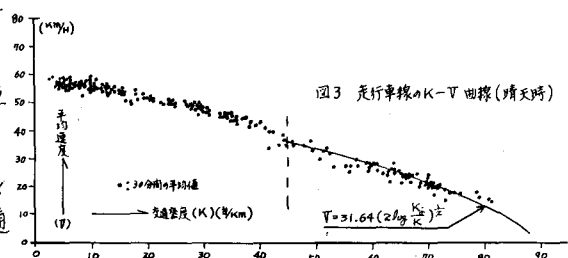
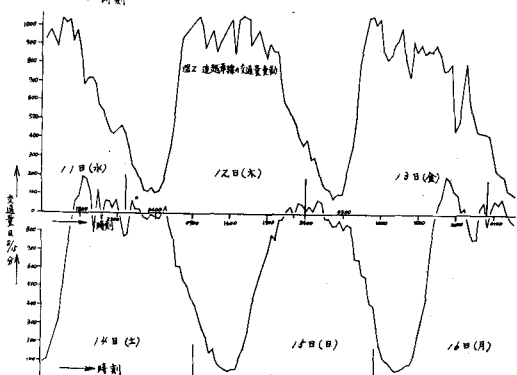
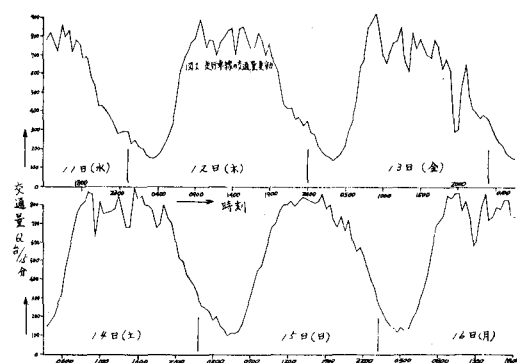


図3 走行車線のK-V曲線(晴天時)

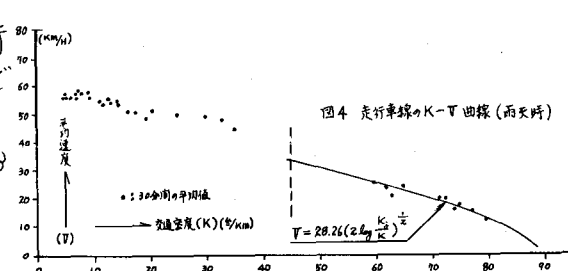


図4 走行車線のK-V曲線(雨天時)

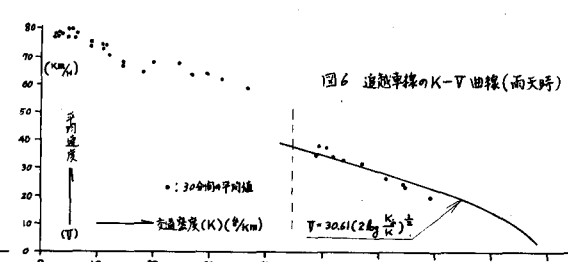


図5 追越車線のK-V曲線(晴天時)

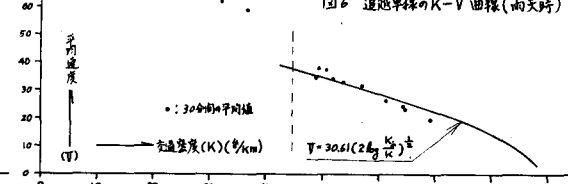


図6 追越車線のK-V曲線(雨天時)